

III-41 三軸的繰返し荷重をうける飽和粘土の変形について

九州大学 工学部 正員 山内豊穣
西日本工業大学 同 安原一哉
不動建設 同 ○阿部直文

1. まえがき 近年 墓地盤におけるタイヤの破壊や基礎の不等沈下にも原因があるといわれ報告され話題になつた。筆者らはタンク内の燃料の変動に加えて海面の潮位の変化による繰返し荷重の影響を無視しないことを指摘した。このことはかつて Bjerrum²⁾が指摘したことです。筆者らは数年来未だ一般的な繰返し圧密試験による粘土性土の繰返し荷重に対すると顕著な周期的状態を起す事実をもとにして現地への適用例と応用例を示してきた。本文はこの研究結果の成績を踏まえ、一般的な变形に限らない、この種の問題に適するより一般的な運動を知る为进一步として三軸圧縮試験における飽和粘土の繰返し荷重下の変形挙動を検討した結果を報告する。

2. 繰返し三軸圧縮試験 試験機は従来筆者の一人が道路用材料の力学挙動を知るために用いたもので、空気压制御による繰返し装置を通常の三軸装置に取り付けたものである。用いた試料は有明半島粘土で、其の物理性は $G_s = 2.46$, $W_L = 11.5\%$, $I_p = 58$ である。この試料に加水後十分練り返し大型等方圧密試験で液压 0.5 kg/cm^2 の約 96 時間圧密させ、一次圧密が終了したことを確認する。その後、この容器から三軸用円筒供試体として径 35, 高さ 9.0 cm で切り出す。排水を促進するため paper drain を使用し、漏水を防ぐためにゴムシーブを二枚使用した。今回はタンク基礎などの地下を想定して排水条件を一定の繰返し荷重負荷した。試験条件は表-1 に示す通りである。

3. 繰返し荷重をうける飽和粘土の変形 3.1 主ビズミと体積変化の関係 繰返し載荷時の体積ビズミと最大主ビズミは図-1 に示す通りである。初期は体積ビズミよりセン断ビズミの方が軸ビズミに寄与している点は静的荷重の場合と同様であるが、体積変化が追随する過程では極めて等方圧密的であることが特徴的である。この試料については変形が一次元圧密的に進行すれば繰返し荷重 $\Delta \sigma_r = 0.7 \text{ kg/cm}^2$ 、応力比 $(\sigma_r - \sigma_0) / (\sigma_0 + 2\sigma_0) = 1.23$ のときである。図のようない表示は供試体の変形の様子を把握するのに有用であることがわかる。3.2 変形の予測方法 これまでの一軸的側面拘束圧密にちなんで方法を提案してきたが、これから三軸側面拘束条件下でも適用しうることを示す。本法は山内・青砥⁴⁾による研究成果を基礎としている。繰返し荷重をうける土の主ビズミは回復比 ε^r と非回復ビズミ ε^p から成るとするならば次式が成立つことになる。

$$\varepsilon_t = \varepsilon^e + \varepsilon^p \quad \dots \quad (1)$$

いま両端を ε_t で除れば次のようになる。

$$\frac{\varepsilon^e}{\varepsilon_t} + \frac{\varepsilon^p}{\varepsilon_t} = 1 \quad \dots \quad (2)$$

一般的に繰返し応力を負荷された供試体の弹性ビズミは載荷回数の増大と共に一定化するか減少する傾向がある。今回の実験においても図-2 のようにこの傾向が確かめられる。したがって式(2)における左辺の物理量 $\varepsilon^e/\varepsilon_t$ はビズミの増大に伴て $\varepsilon^e/\varepsilon_t \rightarrow 0$ となる。従つて、破壊に至らない条件 $\varepsilon^p/\varepsilon_t < 1$

$$(\varepsilon^p/\varepsilon_t)_N = 1 \quad \dots \quad (3)$$

表-1 三軸試験条件

| 圧密条件 | $0.5, 1.0 \text{ kg/cm}^2$ (等方圧密) |
|-------|---|
| 繰返し荷重 | $0.1, 0.2, 0.3, 0.4, 0.5, 0.6, 0.7 \text{ kg/cm}^2$ |
| 周期 | 60 sec / cycle |
| 載荷回数 | 約 5000 回 |

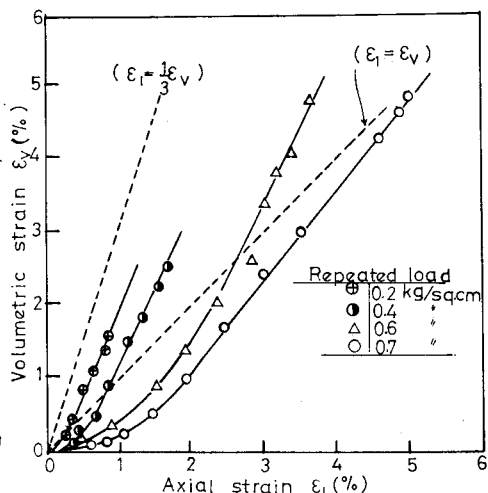


図-1 繰返し三軸試験中の最大主ビズミと体積ビズミの関係

を満足する載荷回数が存在すると考えられる。しかし、この載荷回数における主ひずみが知らぬれば、繰返し応力による地下を推定することができない。一軸的圧密条件のもとでのひずみ応用が可能であることをすれば筆者らは確めている。これを数式的に求めの場合次の如くあれば容易である。いま、図-3の通りに全ひずみ ϵ_t と非回復ひずみ ϵ'_t の比 r と載荷回数 N との関係曲線の直線部分の勾配を $\dot{r} = dr/d\log N$ とすれば、

$$\log_{10}(N_0/N_*) = (1-r)/\dot{r} \quad \dots \quad (4)$$

が成り立つ。 N_0 : 地下が収束終了時の載荷回数、 N_* : 直線部分の開始点における載荷回数、 r_0 : N_0 に相当するひずみ比 r である。また、図-4から繰返し荷重による全ひずみ ϵ_{tf} は

$$\epsilon_{tf} = \epsilon_{tp} + \epsilon_t \log_{10}(N_0/N_*)^* \quad \dots \quad (5)$$

のように表わすことができるとしてよい。 ϵ_{tp} : 一次圧密ひずみ、 ϵ_t : $d\epsilon_t/d\log N$ 、 N_* : 1%の地盤の直線部分の開始点における載荷回数である。いま仮に、式(4)の N_0 と式(5)の N_* が近似的に等しいとすれば、式(4)、(5)より

$$\epsilon_{tf} = \epsilon_{tp} + (1-r_0) \cdot (\epsilon_t/\dot{r}) \quad \dots \quad (6)$$

が得られる。これが提案の実験式である。これでいくつも実験やモデルのデータの解析を行なうのが今後の課題である。

3.3 繰返し応力負荷後の強度変化 繰返し応力による硬化現象の発現によく著しく強度増加を示すことは多くの研究によって確かめられており、飽和粘土の場合

軟化や繰り返し作用が考えられるので、繰り返し応力と同様ではないと予測される。しかし、今、繰り返し応力負荷後の試体の非排水せん断試験を行なう。 C_u を調べてみると図-5のようだ。
 $C_u/p = 0.11 + 0.037 \Delta p$ により求められる強度増加がかなり大きな値を得られている。このことは、
一軸的繰り返し圧密粘土試料においても確かめられ、
³⁾ 饱和粘土においても硬化効果が存在し
行なうとしてわかるのである。

4. おわりに 排水条件のもとで飽和粘土試料に三軸的繰り返し応力を負荷し、それに伴う変形と強度変化を数式化するところではあるが、若干の考察を行なった。その結果、(1)繰り返し応力下における排水形変形は非排水形変形を少しだけ大きいが、それと側方拘束条件の下での1%の地盤(二次圧密)を予測する方法が同様に通用可能である、(2)三軸的繰り返し応力負荷後の粘土供試体の強度変化は静的応力負荷後のそれと顕著であり、飽和粘土でも硬化効果がみられることがわかった。

引用文献 1) Yamanouchi, T. and K. Yasuhara ; Behavior of Soft Clay under Repeated Loading and Its Applications to Field Problems, Submitted to the Symp. "Recent Developments in the Analyses of Soil Behavior and Their Applications to Geotechnical Structures", in Proc. of N. S. W., 2) Bjerrum, L. (1966) : Secondary Settlement of Structures Subjected to Large Variations in Line loads, Proc. Symp. Thermo and Soil Mech., IUTAM, pp. 460 - 471, 3) Yamanouchi, T. and K. Yasuhara ; Settlement of Clay Subgrades of Low Bank Roads after Opening to Traffic, Proc. 2nd Aust. & N. Z. Conf. Geomech. (to be Submitted), 4) 1970年春号(1970) : 繰り返し荷重を773回の変形に応じ、X25回荷重を算出, pp. 99 - 102.

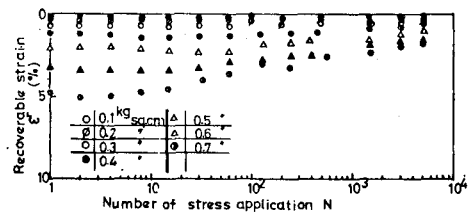


図-2 繰返し三軸圧縮試験中の回復ひずみ

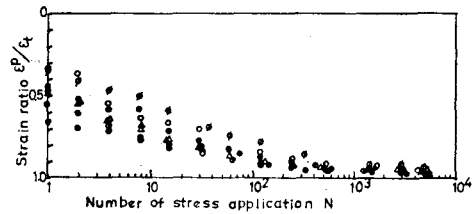


図-3 繰返し三軸圧縮試験中のひずみ比

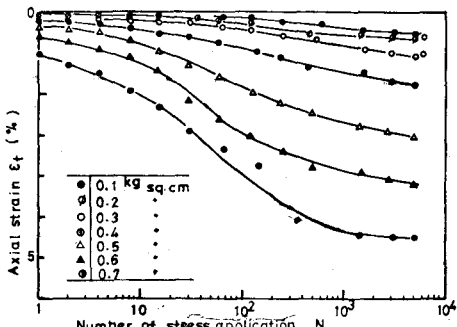


図-4 繰返し三軸圧縮試験中のひずみ

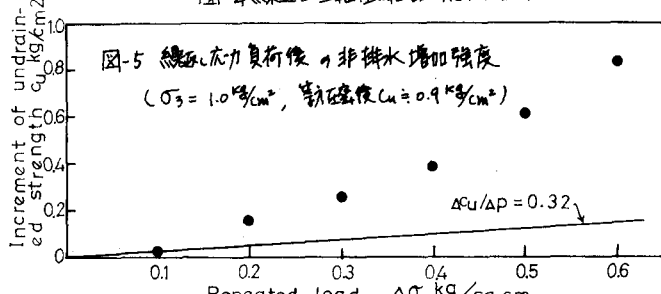


図-5 繰返し応力負荷後の非排水増加強度

$$(\Delta p = 1.0 \text{ kg/cm}^2, \text{ 参照強度 } Cu = 0.9 \text{ kg/cm}^2)$$

$$\Delta Cu/\Delta p = 0.32$$

1=2.12